

Walsh函数在波形综合中的应用

电 脑 系 陈 玉 宝

提 要

本文旨在简叙 Walsh 函数的基本定义、性质和 Walsh 级数及在 Walsh 变换的基础上, 研究了一种新颖的、利用 Walsh 级数展开的波形综合方法, 并给出了实现 Walsh 函数及 Walsh 变换的物理模型和实际逻辑电路框图。最后尚探讨了 Walsh 函数在现代控制理论中的应用。

一、引 言

美国著名数学家 J. L. Walsh 早在一九二三年提出的正交函数, 最近几年来在电子领域中得到了高度的重视和应用^[1], 并在不少的学科里显示了它的巨大潜力和吸引力。从近年来在 Walsh 函数及应用的国际性会议上所发表的大量论著上看, 科学家们对 Walsh 函数应用的重要性及广阔前景的认识已有一致的见解。详细且深入地讨论这个令人感兴趣的课题已不是本文的主题, 故本文仅扼要地介绍有关 Walsh 函数的定义、性质及 Walsh 级数、Walsh 变换, 着重讨论它的实现模型及在波形合成中的应用。有关 Walsh 函数的详细内容请参阅 [2]。

二、Walsh 函数的定义及其性质

2.1, Walsh 函数的定义

Walsh 函数系为一种归一化的完备正交函数系。它有数种的表示方法和排列次序, 并且它们之间是可以某种方式互换的^[4]。在此, 我们引入了一种用 C. Cardot 方式表示的 Walsh 函数定义式。

$$\begin{aligned} \text{Wal}(k, t) &= \prod_{y=0}^{m-1} \text{Sgn}(\cos k_y 2^y \pi t) & 0 \leq t < T = 1 \\ \text{Wal}(k, t) &= \text{Wal}(k, t+n) & n = 0, \pm 1, \pm 2, \dots \\ k &= \sum_{y=0}^{m-1} k_y 2^y & k_y = \{0, 1\} \end{aligned} \quad (1)$$

k 称为 Walsh 函数的编号, m 是 k 的二进制表示中的位数, sgn 是符号函数, 即

$$\text{Sgn} x = \begin{cases} 1 & x > 0 \\ -1 & x < 0 \end{cases}$$

根据定义式(1), 我们就可以描述出 Walsh 函数的图形及表达式(1)。如将定义式(1)开拓到整个 t 实轴上, 则当 k 为奇数时, $\text{Wal}(k, t)$ 对于原点是奇函数, 当 k 为偶数时,

$Wal(k, t)$ 对于原点是偶函数, 类似于正、余弦函数表示法, 我们也可用正弦 Walsh 函数 $Sal(i, t)$ 和余弦 Walsh 函数 $Cal(i, t)$ 表达奇、偶 Walsh 函数, 于是:

$$Wal(k, t) = \begin{cases} Sal(i, t) & \text{当 } k = 2i - 1, \quad i = 1, 2, \dots, n \\ Cal(i, t) & \text{当 } k = 2i, \quad i = 0, 1, 2, \dots, n \end{cases} \quad (2)$$

2.2 Walsh 函数的若干性质

1. 乘法公式: $Wal(n, t) Wal(m, t) = Wal(n \oplus m, t)$; 这个性质表明, 二个 Walsh 函数的积仍是 Walsh 函数, 其结果是模二和。

2. 符号变更的次数: Walsh 函数 $Wal(k, t)$ 在区间 $\{0 \leq t \leq 1\}$ 里变号的次数恰好等于 k 。从这个性质出发, 定义了一种广义频率—列率, 其单位是 $[Hm]^{[1]}$ 。列率恰好是 Walsh 函数在单位时间间隔内通过零点次数之半, 因此 Walsh 函数的一般表达式可写作: $ACal(\phi T, (t+t_0)/T)$; 它有四个参量: 振幅 A 、列率 ϕ 、时运 t_0 和时基 T 。时基 T 则是 Walsh 函数所特有的。

3. 规范正交性: $Wal(k, t)$ 在 $0 \leq t < 1$ 上是一规范正交函数系, 它满足实值连续函数的集合 $\{Wal(k, t)\} = \{Wal(0, t), Wal(1, t), \dots\}$ 在 $[0, 1]$ 区间上正交的条件, 即 $\int_0^1 Wal(k, t) \cdot Wal(h, t) dt = \begin{cases} 1 & \text{当 } k = h \\ 0 & \text{当 } k \neq h \end{cases}$

4. 奇偶性: $Wal(k, 1-x) = (-1)^k Wal(k, x)$, 当 k 为偶数时, $Wal(k, t)$ 对于点 $t = \frac{1}{2}$ 为偶对称, 当 k 为奇数时, $Wal(k, t)$ 对于点 $t = \frac{1}{2}$ 为奇对称。

Walsh 函数尚具有其它一些性质, 如 Walsh 函数的压缩性等, 在此不一一列举了。

三、Walsh 级数及 Walsh 变换

3.1 Walsh 级数的展开:

任一满足 Dirichlet 条件的周期函数 $f(t)$, 展开成 Walsh—Fourier 级数为,

$$f(t) = a_0 Wal(0, t) + \sum_{n=1}^{\infty} a_n Wal(n, t) \quad (3)$$

$$\text{其中: } a_0 = \frac{1}{T} \int_0^T f(t) Wal(0, t) dt = \frac{1}{T} \int_0^T f(t) dt$$

$$a_n = \frac{1}{T} \int_0^T f(t) Wal(n, t) dt \quad n = 1, 2, \dots$$

在定义域里, $t' < \frac{t}{T}$, $0 \leq t' < 1$, 可类似于 Fourier 级数将其展开为,

$$f(t) = a_0 Wal(0, t) + \sum_{i,j=1}^{\infty} [a_i cal(i, t) + b_j sal(j, t)] \quad (4)$$

$$\text{其中: } a_0 = \frac{1}{T} \int_0^T f(t) Wal(0, t) dt = \frac{1}{T} \int_0^T f(t) dt$$

$$a_i = \frac{1}{T} \int_0^T f(t) Cal(i, t) dt \quad i = (2, 4, \dots, 2N)$$

$$b_j = \frac{1}{T} \int_0^T f(t) Sal(j, t) dt \quad j = (1, 3, \dots, 2N-1)$$

它与 Fourier 级数之间存在有这样的关系:

$$\left. \begin{aligned} \text{Cal}(i, t) &= \frac{a_0^i}{2} + \sum_{k=1}^{\infty} [a_k^i \cos k\omega_0 t + b_k^i \sin k\omega_0 t] \\ \text{Sal}(j, t) &= \frac{a_0^j}{2} + \sum_{k=1}^{\infty} [a_k^j \cos k\omega_0 t + b_k^j \sin k\omega_0 t] \\ f(t) &= a_0 \text{Cal}(0, t) + \sum_{i,j=1}^{\infty} \left\{ a_i \left[\frac{a_0^i}{2} + \sum_{k=1}^{\infty} (a_k^i \cos k\omega_0 t + b_k^i \sin k\omega_0 t) \right] + \right. \\ &\quad \left. b_j \left[\frac{a_0^j}{2} + \sum_{k=1}^{\infty} (a_k^j \cos k\omega_0 t + b_k^j \sin k\omega_0 t) \right] \right\} \end{aligned} \right\} \quad (5)$$

如果级数 $\sum_{n=1}^{\infty} a_n \text{wal}(n, t)$ 收敛于函数 $f(x)$ 的话, 则具有下述意义:

$$\lim_{n \rightarrow \infty} \int_0^1 \left[f(t) - \sum_{n=0}^{\infty} a_n \text{wal}(n, t) \right]^2 dt = 0 \quad (6)$$

3.2 Walsh 变换及反变换

如果函数 $f(t)$ 在非负实数的集合 $\{R^+\}$ 中是可积的, 即满足在条件 $\int_0^b f(x) dx < +\infty$ 的所有 Lebesgue 可积函数的全体 L 空间中是完备的, 有 $f(x) \in L(R^+)$, 且 $f(t)$ 的 Walsh - Fourier 级数在 $t = x$ 处收敛于 $f(x)$, 则:

$$f(x) = \lim_{w \rightarrow \infty} \int_0^w f(t) \int_0^w \phi_Y(x \oplus t) dy dt = \lim_{w \rightarrow \infty} \int_0^w \phi_1(x) \int_0^w \phi_Y(t) f(t) dt dy \quad (7)$$

$$\text{如果令: } f^*(t) = \int_0^w \phi_Y(t) f(t) dt \quad (8)$$

将式(8)代入式(7)得:

$$f(t) = \lim_{w \rightarrow \infty} \int_0^w f^*(t) \phi_Y(x) dy = \int_0^{\infty} f^*(t)_Y \phi(x) dy \quad (9)$$

式(8)和式(9)构成了 Walsh - Fourier 变换对。

四、Walsh 函数及 Walsh 级数的实现模型

本节将研究实现 Walsh 函数及 Walsh 级数数学模型的物理模型, 并给出某些具体逻辑结构图。

4.1 Walsh 函数发生器

根据 Rademacher 函数的乘积可以构成 Walsh 函数的原理^[4], 用开关电路产生一组 Rademacher 函数, 再利用一些逻辑电路产生一组 Walsh 函数, 这种方法为大多数设计师所采用, 并有相当多的文献提及它^{[2], [4]}。故在本文中不讨论这种方法, 而着重介绍一种用单位脉冲发生器驱动的 Walsh 函数发生器。

这一方法的原理是利用环形计数器产生各种序号的单位脉冲(图1), 在此我们设为正逻辑, 即高电位为1, 低电位为0尔后依 Walsh 函数的序号进行逻辑组合, 以形成各种序

号的 Walsh 函数 (图 2)。对于前八个 Walsh 函数的组合逻辑表达式如下:

$$\begin{aligned}
 \text{Wal}(0, t) &= 1 \\
 \text{Wal}(1, t) &= I_0 + I_1 + I_2 + I_3 = \overline{I_4} \cdot \overline{I_5} \cdot \overline{I_6} \cdot \overline{I_7} \\
 \text{Wal}(2, t) &= I_0 + I_1 + I_6 + I_7 = \overline{I_2} \cdot \overline{I_3} \cdot \overline{I_4} \cdot \overline{I_5} \\
 \text{Wal}(3, t) &= I_0 + I_1 + I_4 + I_5 = \overline{I_2} \cdot \overline{I_3} \cdot \overline{I_6} \cdot \overline{I_7} \\
 \text{Wal}(4, t) &= I_0 + I_3 + I_4 + I_7 = \overline{I_1} \cdot \overline{I_2} \cdot \overline{I_5} \cdot \overline{I_6} \\
 \text{Wal}(5, t) &= I_1 + I_3 + I_5 + I_6 = \overline{I_1} \cdot \overline{I_2} \cdot \overline{I_4} \cdot \overline{I_7} \\
 \text{Wal}(6, t) &= I_0 + I_2 + I_5 + I_7 = \overline{I_1} \cdot \overline{I_3} \cdot \overline{I_4} \cdot \overline{I_6} \\
 \text{Wal}(7, t) &= I_0 + I_2 + I_4 + I_6 = \overline{I_1} \cdot \overline{I_3} \cdot \overline{I_5} \cdot \overline{I_7}
 \end{aligned} \tag{10}$$

另则, 对于更多序号的 Walsh 函数, 我们仍可用更多级的环形计数器 (或移 1 计数器) 去产生更多的单位脉冲, 并用二极管矩阵去产生更多序号的 Walsh 函数的逻辑组合, 其结构图示于图 3。

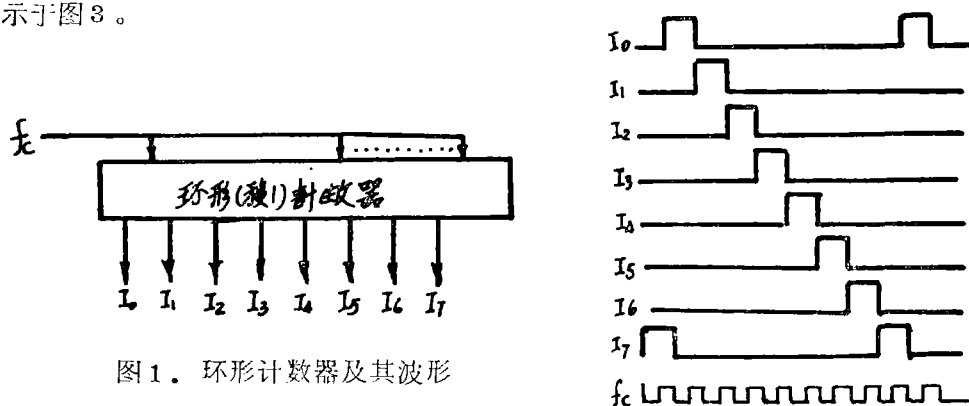


图 1. 环形计数器及其波形

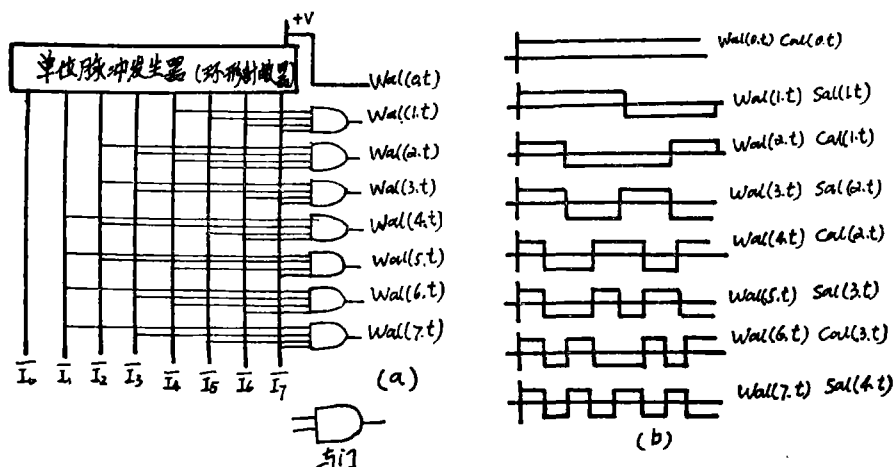


图 2. 前八个 Walsh 函数发生器及波形图

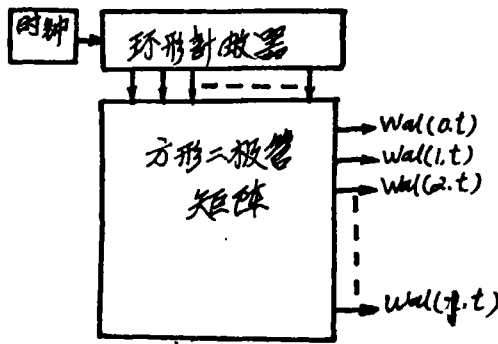


图3. 用环形计数器及二极管矩阵实现八个序号的 Walsh 函数

4.2 Walsh 级数的实现模型

从式(3)中可知,任一函数 $f(t)$ 可展开为 Walsh 级数,则 $f(t)$ 可表示为各种序号的

Walsh 函数的线性组合, $f_i(t) = \sum_{n=0}^{\infty} a_{in} wal(n,t)$ 。对 $f_i(t)$ 作出近似逼近,则 n 应取足

够大,使其近似程度对全体 i 可容,在这种情况下,可令其线性组合为:

$$\begin{aligned} a_{in} &= A, \quad Wal(n,t) = (\phi_0, \phi_1, \phi_2, \dots, \phi_{m-1}) \\ f_i(t) &= \sum F_i = (F_0 + F_1 + \dots + F_k) \end{aligned} \tag{11}$$

当 $f_i(t)$ 的线性组合按 $i = 1, 2, \dots, k$ 和 $n = 0, 1, \dots, m-1$ 。全部展开时,线性变换的一般形式为 $F = A \times \phi$ 。

若实现式(3)数学模型的 Walsh 系数矩阵 A 为:

$$A = \begin{bmatrix} a_{10} & a_{11} & a_{12} & a_{13} & \dots & a_{1m-1} \\ a_{20} & a_{21} & a_{22} & a_{23} & \dots & a_{2m-1} \\ \dots & \dots & \dots & \dots & \dots & \dots \\ a_{k0} & a_{k1} & a_{k2} & a_{k3} & \dots & a_{km-1} \end{bmatrix}$$

则图4为式(3)实现的物理模型。从图4的结构图中可以看出,实现函数 $f(x)$ 的 Walsh 级数展开的基本过程为:用逻辑电路构成 Walsh 函数发生器,产生所需要的 Walsh 函数,在控制单元的控制下,把得到的 Walsh 函数按系数进行加权组合,其输出经求和电路后,在求和电路输出端便可得到所需函数 $f(t)$ 的逼近输出。

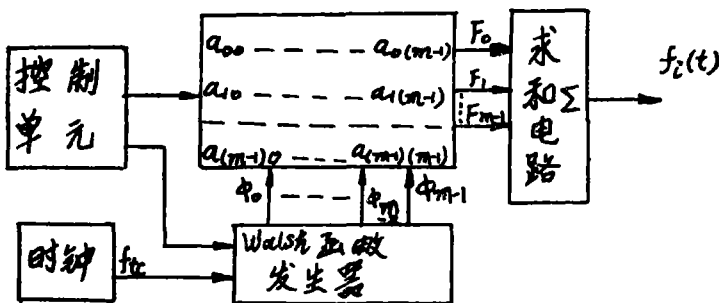


图4. 实现 Walsh 级数展开逼近 $f(t)$ 的物理模型结构图

4.3 若干波形的合成

1. 三角波: 设 $f(t)$ 以 $T=1$ 为周期, 且

$$f(t) = \begin{cases} 2t & 0 \leq t \leq \frac{1}{2} \\ 2(1-t) & \frac{1}{2} \leq t \leq 1 \end{cases}$$

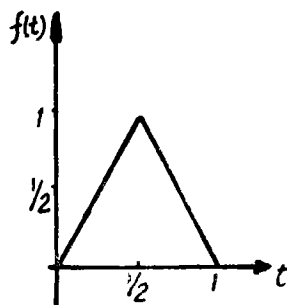


图5. 三角波

根据奇偶函数的性质有 $b_i = 0$, 而 a_i 是:

$$\left. \begin{aligned} a_0 &= \frac{1}{T} \int_0^1 f(t) \text{Cal}(0, t) dt = \int_0^{\frac{1}{2}} 2t dt + \int_{\frac{1}{2}}^1 2(1-t) dt = \frac{1}{2} \\ a_1 &= \frac{1}{T} \int_0^1 f(t) \text{Cal}(1, t) dt = \int_0^{\frac{1}{2}} 2t \text{cal}(1, t) dt + \int_{\frac{1}{2}}^1 2(1-t) \text{cal}(1, t) dt = -\frac{1}{4} \\ a_2 &= \frac{1}{T} \int_0^1 f(t) \text{Cal}(2, t) dt = 0 \\ a_3 &= \frac{1}{T} \int_0^1 f(t) \text{Cal}(3, t) dt = -\frac{1}{8} \\ &\dots\dots\dots \end{aligned} \right\} \quad (12)$$

于是得到了 $f(t)$ 的 Walsh 级数展开式为:

$$f(t) = \frac{1}{2} - \frac{1}{4} \text{Cal}(1, t) - \frac{1}{8} \text{Cal}(3, t) + \dots \quad (13)$$

取展开式的前三项, 则得近似式为:

$$f(t) \approx \frac{1}{2} - \frac{1}{4} \text{Cal}(1, t) - \frac{1}{8} \text{Cal}(3, t) \quad (14)$$

它的实现模型如图6结构图所示。

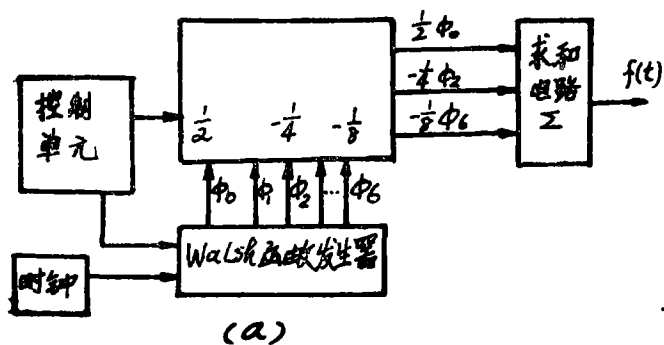
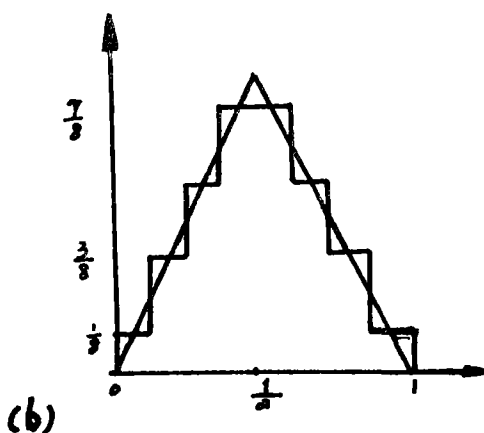


图6 三角波逼近实现的结构式



2. 周期性方波, 设其周期为 1 且:

$$f(t) = \begin{cases} C & 0 \leq x < \frac{1}{2} \\ -C & \frac{1}{2} \leq x < 1 \end{cases}$$

其中 C 为常数;

由 Walsh 级数展开式有:

$$\left. \begin{aligned} a_0 &= -\frac{1}{T} \int_0^1 f(t) \text{Wal}(0, t) dt = \int_0^{\frac{1}{2}} C dt - \int_{\frac{1}{2}}^1 C dt = 0 \\ a_1 &= -\frac{1}{T} \int_0^1 f(t) \text{Wal}(1, t) dt = \int_0^{\frac{1}{2}} C dt - \int_{\frac{1}{2}}^1 C(-1) dt = C \\ a_2 &= a_3 = \dots a_n = 0 \end{aligned} \right\} \quad (15)$$

于是: $f(t) = \text{Wal}(1, t)$ 。根据图 4 的结构及图

6 的例子不难画出其实现结构图, 限于篇幅, 从此开始均不再画出其逼近实现的结构图。

3. 全波整流的波形, 设 $f(t)$ 以 π 为周期且:

$$f(x) = \sin \pi x, \quad 0 \leq x < 1$$

由 Walsh 级数展开得:

$$\left. \begin{aligned} a_0 &= \frac{1}{\pi} \int_0^1 \sin \pi x \text{Wal}(0, x) dx = \frac{2}{\pi} \\ a_1 &= \frac{1}{\pi} \int_0^1 \sin \pi x \text{Wal}(1, x) dx = 0 \\ a_2 &= \frac{1}{\pi} \int_0^1 \sin \pi x \text{Wal}(2, x) dx = \frac{1}{\pi} \int_0^{\frac{1}{4}} \sin \pi x dx - \frac{1}{\pi} \int_{\frac{1}{4}}^{\frac{3}{4}} \sin \pi x dx \\ &\quad - \frac{1}{\pi} \int_{\frac{3}{4}}^1 \sin \pi x dx + \frac{1}{\pi} \int_{\frac{1}{2}}^{\frac{3}{4}} \sin \pi x dx = \frac{2}{\pi} (1 - \sqrt{2}) \\ a_3 &= \frac{1}{\pi} \int_0^1 \sin \pi x \text{Wal}(3, x) dx = 0 \\ &\vdots \end{aligned} \right\} \quad (16)$$

于是得到了 $f(x)$ 的 Walsh 级数展开式:

$$f(x) = \frac{2}{\pi} \text{Wal}(0, x) + \frac{2}{\pi} (1 - \sqrt{2}) \text{Wal}(2, x) + \dots \quad (17)$$

同理, 我们亦可导出简单正弦波的 Walsh - Fourier 级数展开式:

$$f(t) = \sin 2\pi t \quad 0 \leq t \leq 1$$

$$f(t) = a_1 \text{Wal}(1, t) + a_5 \text{Wal}(5, t) + a_{13} \text{Wal}(13, t) + \dots$$

$$\text{其中: } a_1 = \int_0^1 \sin 2\pi t \text{Wal}(1, t) dt$$

$$a_5 = \int_0^1 \sin 2\pi t \text{Wal}(5, t) dt \quad (18)$$

$$a_{13} = \int_0^1 \sin 2\pi t \text{Wal}(13, t) dt$$

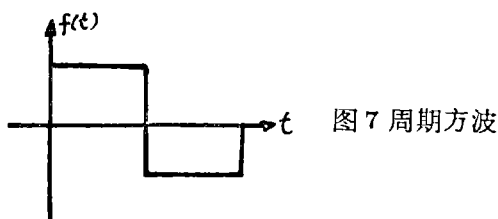


图 7 周期方波

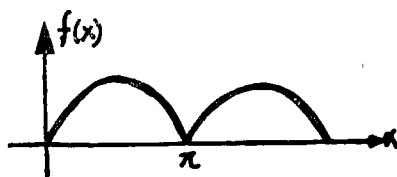
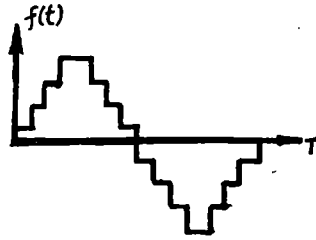


图 8 $f(x) = \sin \pi x$ 图



9. $f(t) = \sin 2\pi t$ 的逼近图

上述的那些波形合成,均是在电子学领域中常见和频用的,我们借助于这种方法,可很方便地进行一些波形的产生及合成。另则:将式(3)中的 a_k 项作下述近似:

$$a_k = \frac{1}{T} \int_0^T f(t) \text{Wal}(k, t) dt \approx \sum_{k=1}^{N-1} N_{kl} \text{Wal}(k, t) \quad 0 \leq t < T-1 \quad (19)$$

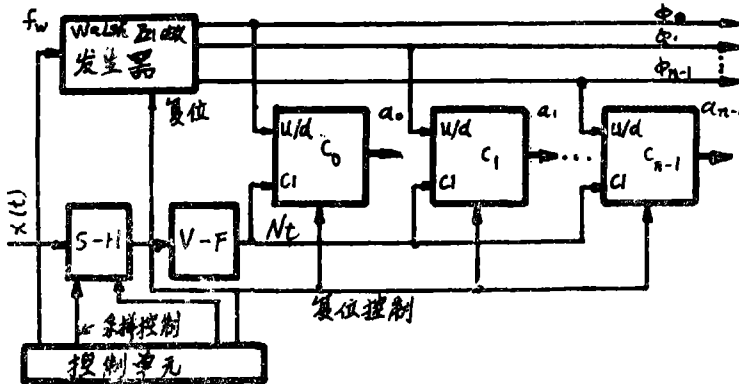


图10. 数字 Walsh 函数分析仪结构图

据此便可构成 Walsh 函数数字分析仪,它的主要作用是将连续函数的信号转换为二进制的 Walsh 函数系数。它的基本原理结构图示于图10。它的工作过程大致是:把随机变量函数 $x(t)$ 经采样保持电路单元(S-H)后,由电压—频率变换器(V-F)将其转为频率脉冲 Nt 作为每个计数器时钟通道的输入,并将 Walsh 函数发生器的输出 $\phi_0, \phi_1, \dots, \phi_{n-1}$, 接到相应的计数器加减控制端,控制计数器对 V-F 变换器送入的频率脉冲作加减运算,当 $\phi_k = 1$ 时,作加法,当 $\phi_k = -1$ 时,作减法。于是在每个归一化的时间周期里,计数器的内容 C_k 就是 Walsh 函数的系数。这就完成了函数 $X(t)$ 的二进制的 Walsh 系数的转换。它可供过程控制及信号处理等用。控制单元对整个网络提供控制信号,其中有计数器及 Walsh 函数发生器的起动及复位控制,当计数器溢出时,关闭 Walsh 函数发生器及计数器。并对采样周期提供控制,由复位控制命令启动采样周期、Walsh 函数发生器及计数器同步动作。这种变换在电子控制系统分析中的重要性是众所周知的,故本文不多赘述。

五、Walsh 级数在现代控制论中的应用

我们将在此节中探讨 Walsh 级数在现代控制论中应用的方法, 这种方法是全新的, 并且易于用计算机实现。

我们考虑下述线性系统, 它可用 n 阶微分方程式描述的形式, 即:

$$X^n + a_1 X^{n-1} + \dots + a_{n-1} X^2 + a_n X = b_0 u^n + b_1 u^{n-1} + \dots + b_{n-1} u^2 + b_n u \quad (20)$$

其中: a_i, b_j 均为常数, $i, 0 = 1, 2, \dots, n$

$$j = 0, 1, 2, \dots, n$$

考虑一个简单情况, 强迫函数中不包括输入的导数项, 即: $b_0 = b_1 = \dots = b_{n-1} = 0$, $b_n \neq 0$, 则方程式(20)变为: $X^n + a_1 X^{n-1} + \dots + a_{n-1} X^2 + a_n X = b_n u$ (21)

通过变换整理后可描述为:

$$\dot{\mathbf{X}} = \mathbf{A}\mathbf{X} + \mathbf{B}U, \quad \mathbf{X}(0) = \mathbf{X}_0 \quad (22)$$

其中:

$$\dot{\mathbf{X}} = \begin{pmatrix} \dot{X}_1 \\ \dot{X}_2 \\ \vdots \\ \dot{X}_n \end{pmatrix}, \quad \mathbf{A} = \begin{pmatrix} a_{11} & a_{12} & \dots & a_{1n} \\ a_{21} & a_{22} & \dots & a_{2n} \\ \dots & \dots & \dots & \dots \\ a_{n1} & a_{n2} & \dots & a_{nn} \end{pmatrix}, \quad \mathbf{B} = \begin{pmatrix} b_{11} & b_{12} & \dots & b_{1L} \\ b_{21} & b_{22} & \dots & b_{2L} \\ \dots & \dots & \dots & \dots \\ b_{n1} & b_{n2} & \dots & b_{nL} \end{pmatrix}$$

那么, 我们可以用 Walsh 级数对其进行求解, 首先, 用系数是 $n \times m$ 的 m 项 Walsh 级数去逼近确定 $\dot{\mathbf{X}}$, 令:

$$\dot{\mathbf{X}} = \begin{pmatrix} \dot{X}_1 \\ \dot{X}_2 \\ \vdots \\ \dot{X}_n \end{pmatrix} = \begin{pmatrix} C_{10} & C_{11} & \dots & C_{1(m-1)} \\ C_{20} & C_{21} & \dots & C_{2(m-1)} \\ \dots & \dots & \dots & \dots \\ C_{n0} & C_{n1} & \dots & C_{n(m-1)} \end{pmatrix} \begin{pmatrix} \phi_0 \\ \phi_1 \\ \vdots \\ \phi_{m-1} \end{pmatrix} \quad (23a)$$

或简记为:

$$\dot{\mathbf{X}} = \begin{pmatrix} C_1 \\ C_2 \\ \vdots \\ C_n \end{pmatrix} \Phi \triangleq \mathbf{C}_{(n \times m)} \times \Phi_{(m \times 1)} \quad (23a)$$

值得指出的是: 解此微分方程与常规方法不太一样, 因为我们所采用的状态变量 $\dot{\mathbf{X}}$ 是未确定的向量级数。状态变量 \mathbf{X} 可由积分求得:

$$\mathbf{X}(t) = \mathbf{C} \int_0^t \phi(\lambda) d\lambda + \mathbf{X}_0 \quad (24)$$

上述积分亦可由 P 矩阵近似逼近, 即:

$$\int_1^t \phi(\lambda) d\lambda \triangleq P\phi(t), \quad \text{则 } X(t) = C \int_1^t \phi(\lambda) d\lambda + X_0 \triangleq CP\phi(t) + X_0 \quad (25)$$

输入向量亦可用 Walsh 级数表达:

$$U = \begin{pmatrix} h_{10} & h_{11} & \dots & h_{1(m-1)} \\ h_{20} & h_{21} & \dots & h_{2(m-1)} \\ \dots & \dots & \dots & \dots \\ h_{L1} & h_{L1} & \dots & h_{L(m-1)} \end{pmatrix} \begin{pmatrix} \phi_0 \\ \phi_1 \\ \vdots \\ \phi_{m-1} \end{pmatrix} \triangleq H\Phi \quad (26)$$

式中 H 是常数矩阵。将式(23)、(25)、(26)代入式(22)得:

$$\begin{aligned} \dot{X} &= AX + BU = C\Phi = A \{ CP\Phi + X_0 \} + BH\Phi \\ X(0) &= X_0 \end{aligned} \quad (27)$$

我们将 AX_0 也统一写成向量形式:

$$AX_0 = AX_0\Phi_0 = [AX_0, \underbrace{000\dots 0}_{m-1}] \Phi = G\Phi \quad (28)$$

化简式(27)得:

$$C\Phi = ACP\Phi + G\Phi + BH\Phi \quad (29)$$

$$C = ACP + G + BH$$

令 $K = G + BH$ 并代入式(29)

$$C = ACP + K \quad (30)$$

$$\text{那它可描述为: } \begin{pmatrix} C_1 \\ C_2 \\ \vdots \\ C_n \end{pmatrix} = [P' \otimes A] \begin{pmatrix} C_1 \\ C_2 \\ \vdots \\ C_n \end{pmatrix} + \begin{pmatrix} k_1 \\ k_2 \\ \vdots \\ k_n \end{pmatrix} \quad (31)$$

其中 $P' \otimes A$ 是矩阵 Kronecher 积, 它的定义式是:

$$P' \otimes A = \begin{pmatrix} a_{11}p' & a_{12}p' & \dots & a_{1n}p' \\ a_{21}p' & a_{22}p' & \dots & a_{2n}p' \\ \dots & \dots & \dots & \dots \\ a_{n1}p' & a_{n2}p' & \dots & a_{nn}p' \end{pmatrix} \quad (32)$$

如果 $[I - P' \otimes A]^{-1}$ 存在的话, 则式(31)可整理为:

$$\begin{pmatrix} C_1 \\ C_2 \\ \vdots \\ C_n \end{pmatrix} = [I - P' \otimes A]^{-1} \begin{pmatrix} k_1 \\ k_2 \\ \vdots \\ k_n \end{pmatrix} \quad (33)$$

由式(33)求到 C 后, 我们可建立求状态变量向量的方程:

$$X = CP\Phi(t) + X_0 \quad (34)$$

因此, 任一定常高阶微分方程总可由状态方程描述, 而状态方程通过式(33)、(34)可用 Walsh 级数进行求解。

六、结 束 语

由于 Walsh 函数本身的二值特性与数字电路特性相协调, 故其近期来在电子领域中得于越来越迅猛的发展。目前, 不少科学家正在致力于探讨和开拓它应用的“处女界”, 鉴于 Walsh 函数的应用是一个内容广泛并具有极大潜力的课题, 本文仅研究了其中的一小部份, 有关 Walsh 函数本身的进展及在其它领域中的应用我们均无涉及, 并在文中可能存在着一定的缺点, 但作者愿乐观地指出: 随着科技的进展, Walsh 函数必将在许多领域的应用中结出丰硕之果。

本文在写作过程中, 得到我系肖金炳同志的帮助和进行有益地讨论, 又承蒙康赐荣老师仔细校阅本文底稿, 现谨向他们一并致以衷心地感谢!

参 考 文 献

1. 樊昌信“沃尔什函数应用研究之进展”《西北电讯工程学院学报》 1977. 3—4 合刊 $P_8 \sim P_{33}$
2. 南京工学院: “线性离散变换与线性系统” (讲义) 1978. 7.
3. G. Frangakis, S. Tzafestas “A digital walsh function analyser”
《Electronic Engineering》 Vol. 51. №925 July 1979.
4. 常迥: “有关沃尔什函数应用的几个问题”
《清华大学学报》 1978. 1. $P_{68} \sim P_{81}$
5. Wen-Liang Chen and yen-ping shih, “Analysis and optimal Control of time-varying linear Systems Via Walsh function”
(INT. J. CONTROL) 1978. Vol. 27. №6. 917—932